

II-215 水路急縮部の洗掘について

日本大学理学部 正員 粟津清藏

§. 1. まえがき。

局所洗掘の洗掘発生限界、平衡洗掘深の解析法をうち逐次解析法(Step-by-step Method)に従って、図-1の水路急縮部の局所洗掘について述べる。

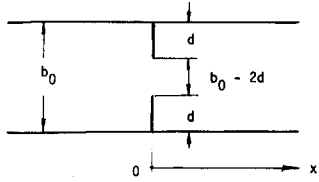


Fig.1. Sketch of sudden contraction part

昨年度は図-1の局所流の特性として次式の結果を得た、この式に基いて局所洗掘について検討する。

$$\frac{a_1}{V_b(1-K)} = \left(1.385 - 0.675\sqrt{K} \right) H_n - \frac{0.385}{\sqrt{\alpha H_n}} \quad (1)$$

$$a_1 = (Qg/b_0)^{1/3}, \quad V_b: \text{maximum bed velocity}$$

$$\text{at } x=0, \quad K = 2d/b_0, \quad H_n = h_n/h_c,$$

$$\alpha: \text{correction coefficient of energy}$$

§. 2. 理論的考察。

i) 洗掘発生限界

(Beginning of Scouring Action: B.S.A.)

移動床における局所流が固失床の局所流と相似であると仮定すると、移動床の限界底流速 V_{bc} は B.S.A. のとき、 $V_b \approx V_{bc}$ と考えられ(1)式より、B.S.A.において次の(2), (3)式の関係が推論される、すなは V_{bc} について、筆者・Shields・岩垣の研究より乱流の場合(4)式によつて評価される。

$$\frac{a_1}{V_{bc}(1-K)} = F \left[\left(1.385 - 0.675\sqrt{K} \right) H_{n*} - \frac{0.385}{\sqrt{\alpha H_{n*}}} \right] \quad (2)$$

or

$$H_{n*} = F \left[\frac{a_1}{V_{bc}(1-K)}, \quad K \right] \quad (3)$$

$$V_{bc} = 49.6 \sqrt{d_m}, \quad (\text{cm/s}) \quad (4)$$

したがつて、(2), (3)式より K, d_m, Q が与えられたとき B.S.A.における無次元の Normal Flow の水深(急縮部の断面) H_{n*} が求まる。

ii) 平衡洗掘深 (Equilibrium Scour Depth: E.S.D.)

与えられた K, d_m, Q に対して、急縮部の Normal Flow の無次元水深 $H_n = h_n/h_c$ と与えられた条件、すなは $B.S.A.$ の H_{n*} と比べて、a) $H_n > H_{n*}$ で洗掘は生じない、b) $H_n = H_{n*}$ で B.S.A. となる、c) $H_n < H_{n*}$ でわゆる局所洗掘が生じる、しかし時刻の経過に伴つて、平衡を洗掘孔が得られる。

初期移動床面からの平衡洗掘深を d_{se} とし、無次元平衡洗掘深を $(h_n + d_{se})/h_c$ によって定義すると、前述の説明より、歩をくとの次の関係が推論される。

$$\frac{h_n + d_{se}}{h_c} = H_n + D_{se} = F(H_{n*}) \quad (5)$$

§. 3. 現象面からの検討。

i) 実験条件

次の三群の実験条件によって、B.S.A., E.S.D. について、静的洗掘に関する実験を行なつた、たゞし Exp.I においては E.S.D. の実験を行なつてゐる。

Table 1. Experimental conditions of Exp.I.

d_m (cm)	0.171, 0.242, 0.342
Q (l/s)	8.0, 10.0, 12.0, 14.0
d (cm)	2.0, 4.0, 6.0
b_0 (cm)	38.9

Table 2. Experimental conditions of Exp.II.

d_m (cm)	0.150, 0.250
Q (l/s)	8.64, 10.96, 13.09
d (cm)	1.93, 3.85, 5.78
b_0 (cm)	39.0

Table 3. Experimental conditions of Exp.III.

d_m (cm)	0.171, 0.219, 0.261
Q (l/s)	10.0, 11.0, 12.0
d (cm)	4.0, 5.0, 6.0
b_0 (cm)	39.0

ii) 現象面からの検討

理論的考察で述べた推論の妥当性について、実験値

に基づいて検討し、その差異性について述べる。

a) B.S.A. について。

(2), (3)式の関係と実験値をプロットし、その妥当性を検討し、それから次の実験式が得られた。

$$\frac{a_1}{V_{bc}(1-K)} = (1.385 - 0.675\sqrt{K}) H_{n*} - \frac{0.385}{\sqrt{H_{n*}}} + 0.490 \quad (6)$$

$$H_{n*} = \frac{0.939 a_1}{V_{bc}(1-K)} - \frac{1.59}{10^{3.96} K} \quad (7)$$

これらの実験式と実験値との関係について述べると、図-2, 3に示すようだ。

具体的に示すと、 K, d_m, Q_1 に対する H_{n*} の値を求めたには、(6), (7)式より見えたようだ。 (6)式より (7)式よりこれが理解される。

$$Y = (1.385 - 0.675\sqrt{K}) H_{n*} - \frac{0.385}{\sqrt{H_{n*}}}$$

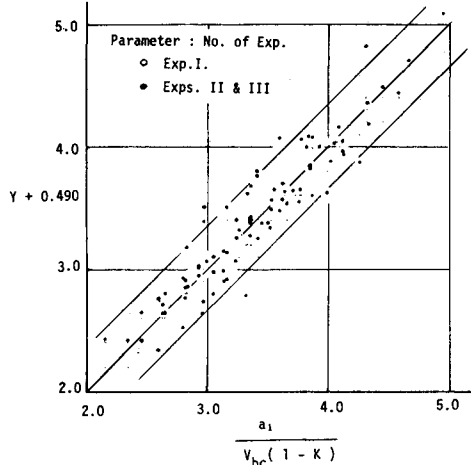


Fig.2. Relationships between eq.(6) and all data

b) E.S.D. について。

(5)式に従って実験値をプロットし、図-4, 5が得られ、それから (8), (9)式の実験式が得られた。

$$H_n + D_{se} = 0.550 + 0.873 H_{n*} \quad (8)$$

$$H_n + D_{se} = H_{n*} \quad (9)$$

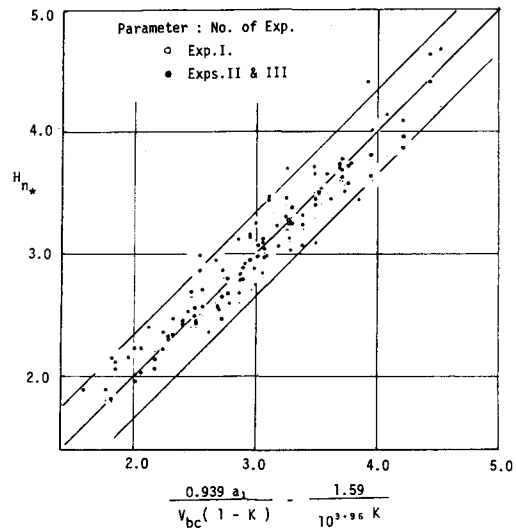


Fig.3. Relationships between eq.(7) and all data

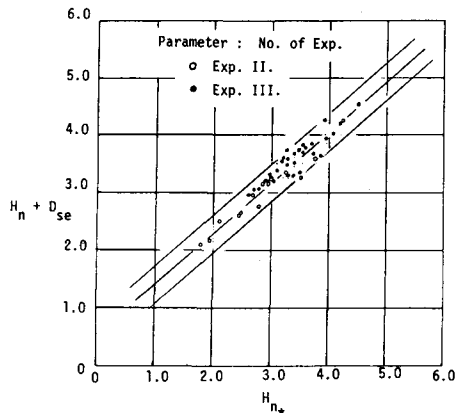


Fig.4. Relationships between $H_n + D_{se}$ and H_{n*} of eq.(7)

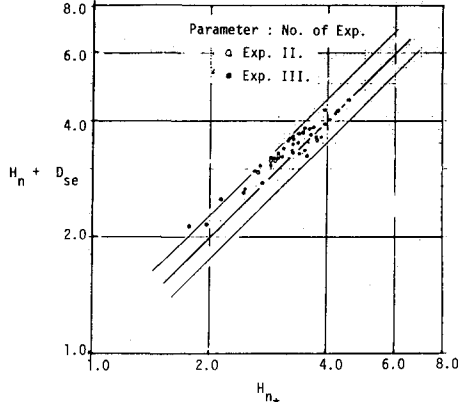


Fig.5. Relationships between $H_n + D_{se}$ and H_{n*} of eq.(7)

§4. むすび。局所流速の解析に当つて、固定床の水理特性からB.S.A. の現象を解析し、そのときの水理量を用いて、E.S.D. を解析する Step-by-step Method が、この実例より有効な方法であると信じる。